

[文章编号] 1007-3949(2009)17-09-0727-04

• 实验研究 •

萘哌地尔衍生物 YM (四)对血管紧张素 (Ⅱ)诱导大鼠胸主动脉平滑肌细胞增殖的抑制作用

杨 征^{1,2}, 邱 敏^{1,3}, 吴 芹¹, 黄燮南¹

(1遵义医学院药理学教研室, 贵州省遵义市 563003; 2包头医学院第一附属医院心内二科, 内蒙古包头市 014010; 3包头医学院药学系, 内蒙古包头市 014010)

[关键词] 萘哌地尔; 动脉平滑肌细胞; 血管紧张素 (Ⅱ)

[摘要] 目的 研究萘哌地尔衍生物 YM (四)对血管紧张素 (Ⅱ)诱导 Wistar 大鼠和自发性高血压大鼠胸主动脉平滑肌细胞增殖的抑制作用及机制。方法 将 Wistar 大鼠和自发性高血压大鼠胸主动脉平滑肌细胞进行体外培养, 采用四甲基偶氮唑比色法检测 YM (四)对胸主动脉平滑肌细胞和血管紧张素 (Ⅱ)诱导胸主动脉平滑肌细胞增殖的影响; 用实时逆转录聚合酶链反应技术检测血管紧张素原、cmyc mRNA 表达。结果 未经血管紧张素 (Ⅱ)处理的胸主动脉平滑肌细胞, $0.1 \mu\text{mol/L}$ YM (四)能抑制 Wistar 大鼠和自发性高血压大鼠胸主动脉平滑肌细胞增殖; YM (四) ($0.01, 0.05, 0.1 \mu\text{mol/L}$) 能呈浓度依赖性抑制血管紧张素 (Ⅱ) 所致 Wistar 大鼠和自发性高血压大鼠胸主动脉平滑肌细胞的增殖; YM (四) ($0.05 \sim 0.1 \mu\text{mol/L}$) 作用能使血管紧张素 (Ⅱ) 所致 Wistar 大鼠血管紧张素原、cmyc mRNA 表达水平下调, 而各浓度 YM (四) 均能下调血管紧张素 (Ⅱ) 所致自发性高血压大鼠胸主动脉平滑肌细胞的血管紧张素原、cmyc mRNA 表达。结论 YM (四) 明显抑制血管紧张素 (Ⅱ) 诱导大鼠胸主动脉平滑肌细胞的增殖, 且抑制增殖作用在自发性高血压大鼠比在 Wistar 大鼠明显, 其作用机制可能与下调血管紧张素原、cmyc mRNA 的表达有关。

[中图分类号]

[文献标识码] A

Inhibition of Naftopidil Ramification YM (四) on Cultured Thoracic Aorta Smooth Muscle Cells Proliferation of Rats Induced by Angiotensin (Ⅱ)

YANG Zheng^{1,2}, QIU Min^{1,3}, WU Qin¹, and HUANG Xie-Nan¹

(1 Department of Pharmacology, Zunyi Medical College, Zunyi 563003 China; 2 Second Department of Cardiovascular Internal Medicine, the First Affiliated Hospital, Baotou Medical College, Baotou 014010 China; 3 Department of Pharmacy, Baotou Medical College, Baotou 014010 China)

[KEY WORDS] Naftopidil Aortic Smooth Muscle Cell Ang(Ⅱ)

[ABSTRACT] Aim To investigate the inhibition of naftopidil ramification YM (四) on Wistar rat and spontaneously hypertensive rat (SHR) thoracic aorta smooth muscle cell (tASM C) proliferation induced by angiotensin (Ⅱ) (Ang(Ⅱ)), and to explore the possible mechanisms. Methods Primary culture of tASM C from Wistar rat and SHR was established in vitro and the effects of YM (四) on tASM C proliferation induced by Ang(Ⅱ) were determined by methyl thiazolyl tetrazolium (MTT) assay. The effects of YM (四) on the expressions of angiotensinogen (AGT) and cmyc mRNA were detected by real-time reverse transcription polymerase chain reaction (RT-PCR). Results $0.1 \mu\text{mol/L}$ YM (四) depressed Wistar rat and SHR tASM C proliferation and YM (四) ($0.01, 0.05, 0.1 \mu\text{mol/L}$) depressed tASM C proliferation induced by Ang(Ⅱ) in a concentration-dependent manner. YM (四) ($0.05 \sim 0.1 \mu\text{mol/L}$) down-regulated the expression of AGT and cmyc mRNA on Wistar rat in 24 hours. YM (四) ($0.01, 0.05, 0.1 \mu\text{mol/L}$) down-regulated the expression of AGT and cmyc mRNA on SHR in 24 hours. Conclusions Proliferation of tASM C induced by Ang(Ⅱ) can be inhibited clearly by YM (四) the effect is more significant on SHR than on Wistar rat. The mechanism may be related to down-regulating the expression of AGT and cmyc mRNA.

血管平滑肌细胞 (vascular smooth muscle cell VSMC) 增殖是动脉粥样硬化、高血压、冠心病、经皮冠状动脉内血管成形术后再狭窄的病理基础^[1], 探

[收稿日期] 2009-07-13 [修回日期] 2009-09-05

[作者简介] 杨征, 硕士, 主治医师, 研究方向为高血压病的防治, 联系电话为 (0472) 2178356 Email 为 vz798820022002@yahoo.com.cn。邱敏, 硕士, 讲师, 研究方向为心血管药理学, Email 为 qiumin1115@yahoo.com.cn。黄燮南, 教授, 研究方向为心血管药理学, Email 为 huangxienan@yahoo.com.cn。

讨抑制 VSMC 增殖的药物已成为人们研究的热点。萘哌地尔 (naftopidil Naf) 为苯基哌嗪衍生物, 它是一种新型 α1 受体阻断剂, 已批准为国家一类新型降压药; 萘哌地尔同时还具有抑制 VSMC 增殖的作用^[2]。在我国临床使用过程中, 发现萘哌地尔具有生物利用度低、较易产生耐药性及体位性低血压等缺点, 故迫切需要对该类药物进一步优化。YM (四) 是一种萘哌地尔衍生物, 由中国科学院贵州省天然药

物化学重点实验室以其母链为基础, 对其侧链进行修饰而合成。我们发现, YM (四)不仅具有抗高血压作用(已修回, 待发表), 同时还有抑制血管平滑肌细胞增殖的作用。因此, YM (四)具有较好的临床应用前景。本实验观察了 YM (四)对 Wistar 大鼠和自发性高血压大鼠(spontaneously hypertensive rat SHR)胸主动脉平滑肌细胞(thoracic aorta smooth muscle cell, tASMC)增殖的影响并探讨可能的抗动脉粥样硬化作用机制, 为该药的开发研究提供基础资料。

1 材料和方法

1.1 药品与试剂

YM (四)(中国科学院贵州省天然药物化学重点实验室); α -肌动蛋白单克隆抗体(α -actin, Santa Cruz 公司); RNA 纯化盒(大连宝生物工程有限公司); 达尔伯克(氏)改良伊格尔(氏)培养基(Dulbecco's modified Eagle medium, DMEM); 二甲基亚砜(dimethyl sulfoxide, DMSO)、血管紧张素Ⅱ(angiotensin Ⅱ, Ang Ⅱ)、噻唑兰(methyl thiazolyl tetrazolium, MTT)、cmyc 血管紧张素原(angiotensinogen, AGT)、甘油醛-3-磷酸脱氢酶(glyceraldehyde-3-phosphate dehydrogenase, GAPDH)(美国 Sigma 公司)。

1.2 仪器

MS-1015 倒置显微镜(日本 OLYMPUS 公司), 实时(real time)逆转录-聚合酶链反应(reverse transcription polymerase chain reaction, RT-PCR)扩增仪(美国 Bio-Rad 公司), TU1810 紫外可见分光光度计(北京普析仪器有限责任公司)。

1.3 实验动物

Wistar 大鼠和 SHR, 购自上海市高血压研究所, 合格证书: 医动字第 2237-1, 0237-2 号。

1.4 实验方法

1.4.1 胸主动脉平滑肌细胞培养及鉴定^[3] 采用组织贴块法培养大鼠 tASMC, 胰蛋白酶消化法传代培养, 倒置相差显微镜下观察并作 VSMC 特异性抗 α -actin 免疫组织化学染色鉴定, 选用 3~8 代 tASMC 用于实验。

1.4.2 YM (四)对胸主动脉平滑肌细胞增殖活性的作用^[4] 四甲基偶氮唑盐(MTT)比色法检测 tASMC 增殖活性: 取生长良好的 tASMC, 0.2% 胰蛋白酶消化后, 用含 10% 胎牛血清(fetal calf serum, FCS)的 DMEM 培养基制成细胞悬液, 每孔以 5×10^3 个/L 细胞密度接种于 96 孔培养板中, 每孔体积 200 μ L, 放入培养箱中培养, 在细胞长到 70% 融合时, 更换

5% FCS 的 DMEM 培养 24 h, 再换成 10% FCS 的 DMEM 培养液进行实验。按照如下分组: Wistar 大鼠对照组(10% FCS 的 DMEM 培养液)、Wistar 大鼠 YM (四)组(10% FCS 的 DMEM 培养液 + 不同浓度的 YM (四))、Wistar 大鼠 Ang Ⅱ组(10% FCS 的 DMEM 培养液 + 1 μ mol/L Ang Ⅱ)、Wistar 大鼠 Ang Ⅱ+ YM (四)组(10% FCS 的 DMEM 培养液 + 1 μ mol/L Ang Ⅱ+ 不同浓度的 YM (四))、SHR 对照组(10% FCS 的 DMEM 培养液)、SHR YM (四)组(10% FCS 的 DMEM 培养液 + 不同浓度的 YM (四))、SHR Ang Ⅱ组(10% FCS 的 DMEM 培养液 + 1 μ mol/L Ang Ⅱ)、SHR Ang Ⅱ+ YM (四)组(10% FCS 的 DMEM 培养液 + 1 μ mol/L Ang Ⅱ+ 不同浓度的 YM (四)), YM (四)先于 Ang Ⅱ 30 min 加入各孔中, 在培养箱中共同孵育 24 h 后, 测前每孔加入 MTT 溶液(5 g/L 噻唑蓝)20 μ L, 继续孵育 4 h, 弃上清夜, 再加入 150 μ L 二甲基亚砜, 振荡 10 min, 于酶标仪 490 nm 波长处通过测定各孔吸光度值来确定 tASMC 生存率。

1.4.3 实时逆转录聚合酶链反应技术检测 YM (四)对胸主动脉平滑肌细胞 cmyc、血管紧张素原 mRNA 表达的影响 实时 RT-PCR 按照如下进行分组: Wistar 大鼠组: 包括 Wistar 大鼠对照组, Wistar 大鼠 Ang Ⅱ(1 μ mol/L)组, Wistar 大鼠 Ang Ⅱ(1 μ mol/L) + 不同浓度 YM (四)组; SHR 组: 包括 SHR 对照组, SHR Ang Ⅱ(1 μ mol/L)组, SHR Ang Ⅱ(1 μ mol/L) + 不同浓度 YM (四)组。Trizol 法提取 RNA 并纯化。紫外分光光度计测定 $A_{260\text{nm}}/A_{280\text{nm}}$ 值在 1.8~2.0 之间。将其逆转录为 cDNA 并稀释, 进行定量 PCR。GAPDH 为内参, 上游引物: 5'-TCC ACC ACC CTG TTG CTG TAG-3', 下游引物: 5'-GAC CAC AGT CCA TGC CAT CAC T-3', 扩增片段 456 bp AGT 上游引物: 5'-TGT TGC TGC TGA GAA GAT TG-3', 下游引物: 5'-CCG GAG AGT TGT CCT GGA TG-3', 扩增片段 256 bp cmyc 上游引物: 5'-CCT ACC CTC TAA CGA CAG C-3', 下游引物: 5'-CTC TGA CCT TTT GCC AGG AG-3', 扩增片段 240 bp。总反应体积 20 μ L。实时 RT-PCR 扩增条件: 第一步: 95°C × 8.5 min, 第二步: (95°C × 15 s, 60°C × 1 min, 72°C × 20 s) × 45 个循环。目的基因的相对表达量以“目的基因/内参基因”表示。

1.5 统计学方法

实验数据均以 $\bar{x} \pm s$ 表示, 全部资料的整理、分析均用 SPSS 11.5 统计软件进行。两组间比较采用 *t* 检验, 多组间比较采用方差分析, $P < 0.05$ 为差异有显著性。

2 结果

2.1 胸主动脉平滑肌细胞形态学观察结果

在倒置显微镜下连续观察,组织块贴壁后5天,有少量细胞从组织块边缘长出;第8天时,细胞生长旺盛,交织成网状;第10天,组织块周围形成明显的生长晕,细胞沿着组织块周边放射性生长;第14天,组织块被推掉,相邻生长晕汇集成片,细胞平行排列呈“峰”、“谷”样结构特征,即可传代。传代细胞接种于培养瓶,8 h后即已贴壁。24 h后进入细胞增殖期,细胞排列呈梭形或束状,形态亦呈多样性,并保持“峰”、“谷”样结构特征。

2.2 免疫组织化学鉴定结果

取培养的细胞进行特异性 α -肌动蛋白(α -actin)单克隆抗体免疫组织化学鉴定,结果可见胞质着色,胞核清晰可见(图1A)。光学显微镜下可见胞质呈棕黄色,胞质中有向细胞两极放射的条丝状物与细胞长轴平行,形态清晰,即为肌动蛋白(图1B)。免疫组化结果证实培养的细胞为VSMC。

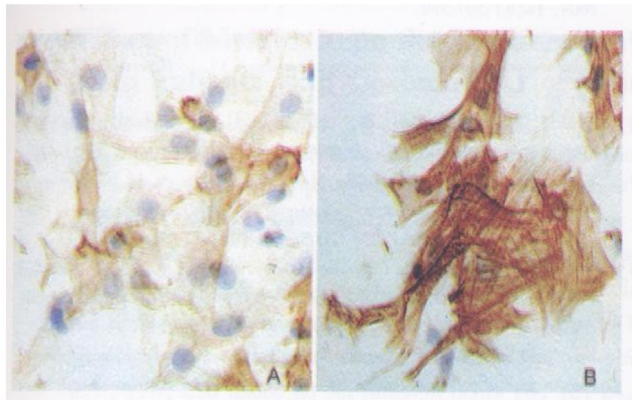


图1. 动脉平滑肌细胞 α -肌动蛋白免疫组织化学染色

2.3 YM对Wistar大鼠和自发性高血压大鼠胸主动脉平滑肌细胞增殖的影响

自发性高血压大鼠tASMC增殖速度快于Wistar大鼠($P < 0.01$)。未经AngⅡ处理的tASMC,0.1 $\mu\text{mol/L}$ YM能抑制Wistar大鼠和SHR tASMC增殖($P < 0.01$)。经1 $\mu\text{mol/L}$ AngⅡ作用24 h能诱导Wistar大鼠和SHR tASMC增殖($P < 0.01$, $P < 0.05$),不同浓度的YM(0.01, 0.05, 0.1 $\mu\text{mol/L}$)呈浓度依赖性抑制AngⅡ所致的tASMC增殖($P < 0.01$, $P < 0.05$;表1)。

2.4 实时逆转录聚合酶链反应结果

2.4.1 RNA完整性鉴定 总RNA电泳结果,可见清晰的两个条带,且28 s条带亮度大于18 s条带,说明提取的RNA完整性好,未发生降解。

表1 萘哌地尔衍生物YM对Wistar大鼠和SHR tASMC增殖的影响($\bar{x} \pm s$, n=8)

分组	浓度($\mu\text{mol/L}$)	Wistar大鼠	SHR
空白对照组	—	0.243±0.010	0.284±0.011 ^a
YM组	0.01	0.242±0.037	0.252±0.053
	0.05	0.232±0.041	0.241±0.052
	0.10	0.219±0.042 ^a	0.139±0.014 ^d
AngⅡ组	1.00	0.306±0.022 ^a	0.437±0.101 ^e
	YM II+AngⅡ组	0.01	0.238±0.046 ^b
	0.05	0.231±0.017 ^c	0.239±0.070 ^f
	0.10	0.224±0.017 ^c	0.162±0.053 ^g

^a为 $P < 0.01$,与Wistar大鼠空白对照组比较; ^b为 $P < 0.05$, ^c为 $P < 0.01$,与Wistar大鼠AngⅡ组比较; ^d为 $P < 0.01$, ^e为 $P < 0.05$,与SHR大鼠空白对照组比较; ^f为 $P < 0.05$, ^g为 $P < 0.01$,与SHR AngⅡ组比较。

2.4.2 YM对Wistar大鼠和自发性高血压大鼠胸主动脉平滑肌细胞血管紧张素及cmyc原基因表达的影响 与Wistar大鼠和SHR对照组相比,AngⅡ作用24 h可明显使tASMC的AGT和cmyc mRNA表达上调($P < 0.05$),不同浓度YM预作用30 min共同孵育24 h中至高浓度YM能使Wistar大鼠AGT、cmyc mRNA表达下调,各浓度YM均能使SHR AGT、cmyc mRNA表达下调($P < 0.05$, $P < 0.01$;表2)。

3 讨论

血管平滑肌细胞迁移和过度增殖是高血压、动脉粥样硬化及血管成形术后再狭窄等血管增生性疾病的基本特征,抑制VSMC过度增殖对于防治血管增生性疾病的发生有重要意义。抗高血压药物若同时具有抑制血管平滑肌细胞增殖的作用,其临床应用价值将显著提高。目前研究发现SHR血管平滑肌细胞增殖高于正常大鼠,与本实验结果一致^[5]。这可能与自发性高血压大鼠体内AngⅡ等多种血管活性物质分泌增加有关。AngⅡ主要通过作用于VSMCs上的特异AT₁受体,经PLC-PKA-Ca²⁺等细胞内信号转导途径使Ca²⁺增多,促进VSMCs大量增生^[6]。在MTT比色实验中显示,YM能抑制AngⅡ诱导的Wistar大鼠和SHR tASMC的增殖,并且呈浓度依赖性。但对未经AngⅡ处理的tASMC,只有高浓度YM对Wistar大鼠和SHR tASMC增殖具有抑制作用。

血管紧张素Ⅱ还可诱导细胞内cmyc等原癌基

表 2 莱哌地尔衍生物 YM 对血管紧张素所致 Wistar 大鼠和 SHR tASC 血管紧张素原和 cmyc mRNA 表达的影响 ($\bar{x} \pm s$, $n=8$)

分组	浓度 ($\mu\text{mol/L}$)	AGT mRNA 表达		cmyc mRNA 表达	
		Wistar 大鼠	SHR	Wistar 大鼠	SHR
空白对照组	—	10.82 ± 2.12	13.50 ± 1.86	23.40 ± 3.65	40.80 ± 4.70
Ang \ominus 组	1.00	75.50 ± 10.20 ^a	183.70 ± 20.70 ^c	151.80 ± 10.51 ^e	476.60 ± 35.10 ^g
Ang \ominus + YM 组	0.01	51.20 ± 6.78	45.70 ± 6.90 ^d	82.50 ± 9.89	67.70 ± 9.30 ^h
	0.05	42.00 ± 6.97	42.80 ± 3.16 ^d	59.40 ± 8.49 ^f	48.90 ± 6.12 ^h
	0.10	11.70 ± 1.37 ^b	17.90 ± 2.27 ^d	49.70 ± 6.64 ^f	34.30 ± 4.45 ^h

a 为 $P < 0.05$ 与 AGT Wistar 大鼠空白对照组比较; b 为 $P < 0.05$ 与 AGT Wistar 大鼠 Ang \ominus 组比较; c 为 $P < 0.05$ 与 AGT SHR 空白对照组比较; d 为 $P < 0.05$ 与 AGT SHR Ang \ominus 组比较; e 为 $P < 0.05$ 与 cmyc Wistar 大鼠空白对照组比较; f 为 $P < 0.01$, 与 cmyc Wistar 大鼠 Ang \ominus 组比较; g 为 $P < 0.05$ 与 cmyc SHR 空白对照组比较; h 为 $P < 0.05$ 与 cmyc SHR Ang \ominus 组比较。

因的表达, 体内 cmyc 过度表达与细胞增殖及肿瘤有关^[7], 细胞内的原癌基因 cmyc 是细胞核内的 DNA 结合蛋白, 能促进增殖相关基因的开放, 促进细胞复制核转录, 产生细胞增殖效应, 所以 cmyc 基因表达是触发 tASC 增殖的始动因素和关键因素^[8-9]。此外, 李运伦^[10]也报道, VSMCs 增殖与丝裂素活化蛋白激酶 (mitogen-activated protein kinase, MAPK) 信号转导途径下游靶基因 c-fos 和 cmyc mRNA 的转录有关。AGT 是 Ang \ominus 前体, 同时也是血压、电解质平衡、心肌细胞生长因子重要的生理调控因子, 在体内外试验均已经证实 Ang \ominus 能刺激 AGT mRNA 表达^[11-12]。本实验采用实时 RT-PCR 技术, 结果证实, Ang \ominus 使 Wistar 大鼠和 SHR tASC 中 cmyc 和 AGT mRNA 表达明显增多, 各浓度 YM 均能使 SHR tASC cmyc 和 AGT mRNA 表达下调, 而 YM 只有在高和中高浓度组才能使 Wistar 大鼠 tASC AGT 和 cmyc mRNA 表达下调。提示 YM 对 SHR tASC 的增殖具有明显抑制作用而对 Wistar 大鼠影响较小, 对 tASC cmyc, AGT mRNA 表达的抑制可能是 YM 抑制平滑肌细胞增殖的早期机制之一。

[参考文献]

- 王生兰, 苏娟, 徐一洲, 等. 大鼠血管平滑肌细胞体外培养的表型转换及其鉴定 [J]. 中国动脉硬化杂志, 2008, 16(4): 268-272.
 - 李利生, 孙安盛, 余丽梅, 等. 莱哌地尔抗大鼠血管平滑肌细胞增殖的作用 [J]. 中国药理学通报, 2008, 24(12): 1579-581.
 - Ma R, Wu SZ, Lin QS. Testosterone regulation of androgen receptor protein expression in cultured vascular smooth muscle cells [J]. Zhonghua Yi Xue Za Zhi, 2004, 84(6): 491-495.
 - 易斌, 钱桂生, 白莉, 等. 丝氨酸-苏氨酸蛋白激酶 2 蛋白表达在低氧致大鼠肺动脉平滑肌细胞增殖中的作用. 中国动脉硬化杂志, 2008, 16(8): 597-599.
 - Felix CT, Helen G, Christine B, et al. Different cell cycle regulation of vascular smooth muscle in genetic hypertension [J]. Hypertension, 2003, 42: 184.
 - 李艳菊, 孙安盛, 余丽梅, 等. 钩藤碱对 Ang \ominus 诱导大鼠血管平滑肌细胞增殖的抑制作用 [J]. 中国药学杂志, 2008, 43(21): 1621-624.
 - Esther Baena Alberio G, Gendarillas M, Iriarte Vallespinos, et al. cmyc regulates cell size and ploidy but is not essential for postnatal proliferation in liver [J]. Proc Natl Acad Sci USA, 2005, 102(20): 7286-291.
 - Amy M, Sylvester Dongfen Chen, Kevin Krasinski, et al. Role of c-fos and F2F in the induction of cyclin A transcription and vascular smooth muscle cell proliferation [J]. J Clin Invest, 1998, 101(5): 940.
 - Lun-Quan Sun, M. Ussary, J. Caims, W. Wayne L. Gerlach, et al. Suppression of smooth muscle cell proliferation by a transcription and vascular smooth muscle cell proliferation by a cmyc RNA-cleaving deoxyribonuclease [J]. J Biol Chem, 1999, 274(24): 17236.
 - 李运伦. 钩藤碱和异钩藤碱抑制血管紧张素 \ominus 诱导血管平滑肌细胞增殖及相关机制 [J]. 中国药理学通报, 2008, 24(1): 53-58.
 - Kobori H, Harrison-Bernard IM, Navar LG. Expression of angiotensinogen mRNA and protein in angiotensin \ominus -dependent hypertension [J]. J Am Soc Nephrol, 2001, 12: 431-439.
 - L. Gabriel Navar, Lisa M, Harrison-Bernard, et al. Regulation of intrarenal angiotensin \ominus in hypertension [J]. Hypertension, 2002, 39: 316.
- (本文编辑 曾学清)